

شناسایی خطواره‌های گسلی کمربند چین خورده- راندگی زاگرس بر پایه تفسیر تصاویر ماهواره‌ای و تعیین ارتباط آنها با موقعیت گنبدهای نمکی رخنمون یافته سری هرمز با استفاده از تحلیل‌های GIS

علی مهرابی^{۱*}، محمد داستانپور^۲، شهابزاده رادفر^۳، محمدرضا وزیری^۴ و رضا درخشانی^۲

^۱دانشجوی دکترا، گروه زمین‌شناسی، دانشگاه شهید باهنر، کرمان، ایران

^۲استاد، مؤسسه آموزش عالی کرمان، کرمان، ایران

^۳استادیار، گروه زمین‌شناسی، دانشگاه شهید باهنر، کرمان، ایران

^۴دانشیار، گروه زمین‌شناسی، دانشگاه شهید باهنر، کرمان، ایران

تاریخ دریافت: ۱۳۹۳/۰۶/۲۳ تاریخ پذیرش: ۱۳۹۳/۰۶/۰۶

چکیده

در پهنه ساختاری زاگرس ایران، محدوده گسترده‌ای از گنبدهای نمکی رخنمون یافته است که ساختاری ویژه در جهان دارد و در شرایط زمین ساختی ایجاد شده‌اند. گنبدهای نمکی رخنمون یافته در کمربند چین خورده- راندگی زاگرس، الگوهای خطی ایجاد کردند. چنین روندهایی به نظر می‌رسد که وابسته به ساختارهای خطی است که در تصاویر ماهواره‌ای لندست دیده می‌شود. تشخیص خطواره‌های گسلی و ارتباط آنها با موقعیت گنبدهای نمکی از دیدگاه آماری، موضوع این مطالعه است. بر پایه تجزیه و تحلیل‌های سنجش از دور، جایه‌جایی‌های افقی در بخش‌هایی از ساختار چین‌ها و پراکنش گنبدهای نمکی سری هرمز، ۳۴ خطواره گسلی در منطقه تشخیص داده شد. به‌منظور تعیین ارتباط میان محل گنبدهای نمکی و راستای خطواره‌های گسلی، روشنی آماری به نام وزن‌های نشانگر به کار برده شد. بدین منظور، نقشه خطواره‌های گسلی و نقشه مرکز گنبدهای نمکی به مدل رستر تبدیل و حریم‌هایی در پیرامون گسل‌ها استخراج شد؛ سپس ارتباط مکانی میان گنبدهای نمکی و خطواره‌های گسلی به طور کمی با استفاده از روش وزن‌های نشانگر به دست آمد. بیشترین ارتباط گنبدهای نمکی در فاصله افقی یک کیلومتری از خطواره‌هاست. روش وزن‌های نشانگر، نشان می‌دهد که خطواره‌های گسلی مرتبط با زمین‌ساخت منطقه، مهم‌ترین عامل در جایگیری گنبدهای نمکی در منطقه مورد مطالعه هستند.

کلیدواژه‌ها: خطواره‌های گسلی، گنبدهای نمکی، تصاویر ماهواره‌ای لندست، ارتباط مکانی، زاگرس.

E-mail: alimehrabi225@yahoo.com

*نویسنده مسئول: علی مهرابی

۱- پیش‌نوشتار

علوم، ماهواره‌ها و تصاویر ماهواره‌ای نیز پیشرفت کردند؛ از این رو استفاده از روش‌های سنجش از دور و پردازش تصاویر ماهواره‌ای برای شناسایی و بررسی پدیده‌های زمین‌شناسی از جمله گسل‌ها و خطواره‌ها بسیار کارآمد به نظر می‌رسد (Yassaghi, 2006). بر این اساس هدف از این پژوهش شناسایی خطواره‌های گسلی موجود در منطقه مورد مطالعه با استفاده از پردازش تصاویر ماهواره‌ای و تعیین ارتباط مکانی میان این خطواره‌ها و موقعیت گنبدهای نمکی رخنمون یافته با استفاده از روشنی آماری به نام روش وزن‌های نشانگر بوده که در محیط GIS قابل کار و اندازه گیری است.

۲- موقعیت جغرافیایی و زمین‌شناسی منطقه مورد مطالعه

محدوده مورد مطالعه شامل بخش‌های پهناوری از پهنه ساختاری زاگرس میان عرض جغرافیایی $۳۰^{\circ} - ۳۰^{\circ}$ تا $۵۱^{\circ} - ۵۷^{\circ}$ شمالی و طول جغرافیایی $۲۶^{\circ} - ۲۹^{\circ}$ تا $۵۰^{\circ} - ۵۱^{\circ}$ خاوری است منطقه مورد مطالعه بخش‌های زیادی از استان‌های هرمزگان، فارس و بوشهر را شامل می‌شود. مساحت محدوده مورد مطالعه ۱00000 کیلومتر مربع است. شکل ۱ موقعیت منطقه مورد مطالعه را نشان می‌دهد.

کمربند چین خورده- راندگی زاگرس را از دید ساختاری می‌توان به دو زیرپهنه تقسیم کرد؛ (۱) زیرپهنه چین خورده با بهانه ۱50 تا 250 کیلومتر، تاوه حاشیه‌ای و کراتونی سپر عربستان است که در مزوژوییک و سنوزوییک در حال نشست پیوسته بوده و ترادف‌های سبیر رسویی در آن ابانته می‌شده است. در این زیرپهنه، پوشش رسویی روی پی‌سنگ، به صورت تاقدیس‌ها و ناودیس‌های کشیده، در راستای SE - NW است که صفحه‌های محوری آنها مارپیچ مانند تاب خورده و به چین‌ها، سیمای زیگومیدال باز داده‌اند. اگرچه روند عمومی ساختارها، NW - SE است و روندی همانند زاگرس دارند ولی رسویه‌های شکل‌پذیر می‌وشن، عملکرد

کمربند چین خورده- راندگی زاگرس با روند شمال باخته- جنوب خاوری و با طول نزدیک به 2000 کیلومتر در بخش میانی رشته کوه‌های آلب- هیمالیا قرار گرفته است (Jaros, 1981). از دید ساختاری، این کمربند از چین‌ها و گسل‌های رورانده تشکیل شده است. به‌طور کلی بیشتر گسل‌های این منطقه پنهان هستند و توسط رسویات بالایی پوشیده شده‌اند و کمتر به سطح زمین می‌رسند (Leturmy et al., 2010). در نتیجه، شناسایی این گسل‌ها نیازمند شناخت شواهد Farzipour-Saein et al., (2013). با این حال با وجود مطالعات فراوانی که در این باره انجام گرفته است Player, 1969; Talbot & Jarvis, 1984; McQuillan, 1991; Berberian, 1995;) McQuarrie, 2004; Authemayou et al., 2006; Rahnama-Rad et al., 2008; Jahani et al., 2009; Leturmy et al., 2010; Farzipour-Saein et al., 2013 شناسایی دقیق‌تر خطواره‌های گسلی با روش‌های مدرن و پیشرفته کاملاً ضروری به نظر می‌رسد. در کمربند چین خورده- راندگی زاگرس شمار زیادی گلد نمکی رخنمون یافته است که آنها را جزو سری هرمز می‌دانند. حوضه نمکی هرمز شامل دیاپیرهایی با سن کامبرین است که به مرور زمان از ژرفایی به سوی بالا حرکت کرده تا اینکه به سطح زمین رسیده و گندلهای نمکی را تشکیل داده‌اند (Ala, 1974). این حوضه رسویی در دوره زمانی پر کامبرین تا کامبرین، بر اثر برخورد دو صفحه عربی و ایران ایجاد می‌شود (Walther, 2008; Farhoudi et al., 2008) نظریات مختلفی در ارتباط با چرایی و چگونگی بالا‌مدن نمک‌ها ارائه شده است که از این میان در زمین‌ساخت بسیار دانسته شده است به گونه‌ای که سبب ایجاد پهنه‌های شکستگی در رسویات بالایی می‌شود و راه عبور نمک را آسان می‌کند (Koyi et al., 2008; Motamed et al., 2011)

۲-۳. روش وزن‌های نشانگر

روش وزن‌های نشانگر ابتدا توسط Bonham-Carter (1994) طرح ریزی شد. پایه این روش بر حضور یا عدم حضور یک پدیده نقطه‌ای (مانند مرکز گبدهای نمکی رخمنون یا قله) در یک محدوده است که این محدوده می‌تواند فواصل مشخص از خطواهای گسلی منطقه باشد و بر پایه وزن‌دهی میان این نقاط و محدوده‌ها رفتار می‌کند و این وزن‌ها به صورت W^+ (وزن‌دهی به پدیده‌های درون محدوده (D_p)) و W^- (وزن‌دهی به پدیده‌های بیرون از محدوده (D_A)) است. باید توجه کرد که W^- کل محدوده‌ای است که مطالعه شده است. ارتباط مکانی میان مجموعه نقاط و محدوده‌های دوتایی را می‌توان با توجه به رابطه زیر مشخص کرد:

$$1 > (درصد کل مساحت درون محدوده) / (درصد رخمنون‌های قرار گرفته درون محدوده) = ارتباط مکانی مثبت$$

$$1 < (درصد کل مساحت درون محدوده) / (درصد رخمنون‌های قرار گرفته درون محدوده) = ارتباط مکانی منفی$$

$$1 = (درصد کل مساحت درون محدوده) / (درصد رخمنون‌های قرار گرفته درون محدوده) = بدون ارتباط مکانی$$

ولی به دلیل اینکه مساحت رخمنون گبدهای نمکی کوچک‌تر از محدوده‌هایی است که درون آن قرار دارند، برای نمایش تغییرات، روابط بالا به صورت لگاریتمی ارائه می‌شوند.

$$(1) \quad W^+ = (\text{درصد کل مساحت درون محدوده}) / (\text{درصد رخمنون‌های درون محدوده}) \text{ لگاریتم}$$

$$(2) \quad W^- = (\text{درصد کل مساحت بیرون محدوده}) / (\text{درصد رخمنون‌های بیرون محدوده}) \text{ لگاریتم}$$

که پس از وزن‌دهی، واریانس وزن‌ها از فرمول‌های زیر به دست می‌آید:

$$(3) \quad s^2(w+) = \frac{1}{mD_p} + \frac{1}{bD_p}$$

$$(4) \quad s^2(w-) = \frac{1}{mD_A} + \frac{1}{bD_A}$$

در فرمول‌های بالا mD_p تعداد پیکسل‌های (کوچک‌ترین واحد سازنده تصویر) درون محدوده و شامل رخداد مورد نظر است و bD_p تعداد پیکسل‌های بدون رخداد مورد نظر و درون محدوده است.

$$(5) \quad C = (W+) - (W-)$$

سپس برای هر محدوده دوتایی ضریب تباین (C) از رابطه زیر به دست می‌آید:

$$C = \text{Studentised Contrast} = \frac{C(s(C))}{\sqrt{s^2(W+) + s^2(W-)}}$$

بنابراین یک ارتباط مکانی مثبت، مقدار ضریب C مثبت و برای ارتباط مکانی منفی، مقدار ضریب C منفی است. سپس انحراف معیار از رابطه زیر به دست می‌آید:

$$s(C) = \sqrt{s^2(W+) + s^2(W-)}$$

در مواردی که نقاط و رخمنون‌ها به نسبت کم باشند (مانند این پژوهش)، نسبت آزمون غیر رسمی با فرض $C = 0$ صفر رفتار می‌کند. تازمانی که این نسبت به طور نسبی زیاد باشد نشان‌دهنده این است که کنتراست در مقایسه با انحراف استاندارد زیاد است. در نتیجه کنتراست به واقعیت نزدیک‌تر است. از دید تئوری، مشاهده مقدار Stundentised که بزرگ‌تر از $1/5$ یا حتی 2 باشد، مطلوب است. به دلیل فرض‌های لازم برای آزمون آماری رسمی، بهویژه مسئله و استنگی CS روی واحدهای اندازه‌گیری، بهترین راه استفاده از این تناسب نه به طور مطلق بلکه به طور نسبی است. بر این اساس هر چه نسبت به دست آمده در بالا بزرگ‌تر باشد ارتباط مکانی مطلوب تر است؛ به گونه‌ای که با بیشترین نسبت به دست آمده برای یک محدوده، می‌توان ارتباط مکانی مطلوب تری را برای آن محدوده در نظر گرفت.

گسل‌های بی‌سنگی، تغییر سوی بُردار حرکتی صفحه عربستان نسبت به صفحه ایران و سرانجام حرکت گبدهای نمکی، تغییراتی را در سامانه و روند کلی چین‌ها به وجود آورده است؛ (2) زیرینه راندگی زاگرس با پهنه‌ای ۱۰ تا ۶۵ کیلومتر، به صورت نواری کم پهناست که بلندترین بخش کوه‌های زاگرس را تشکیل می‌دهد و از همین رو گاهی به آن زاگرس مرتفع گفته می‌شود (مطیعی، ۱۳۷۴). Agard et al., 2011 در جنوب خاوری زاگرس، بهویژه در حد فاصل میان گسل کازرون در باخته و گسل میناب در خاور، سنگ‌های پر کامبرین پسین، رخساره کولاپی- تبخیری دارند (James & Wynd, 1965; Alavi, 2004; Pirouz et al., 2011) برویه شواهد موجود، به نظر می‌رسد که در بی فازهای کششی رخداد کوهزایی کاتانگایی در نیمه جنوب خاوری زاگرس، حوضه‌های تبخیری تشکیل شده و رسوبات کولاپی به همراه روانه‌های آذربین مربوط به فاز گرانیت زایی کاتانگایی در آن انباشته شده‌اند. رسوب‌های تبخیری و سنگ‌های ماسکایی این حوضه به صورت گبدهای نمکی بروزند دارند (شکل ۲). سری هرمز شامل سنگ نمک (به رنگ‌های گوناگون)، انیدریت، ژپس، سنگ‌آهک سیاه رنگ، دولومیت بودار چرتی، ماسه سنگ سُرخ، شیل رنگارنگ، سنگ‌های آذربین (دروزی- بیرونی) و کانی‌های آهن و آپاتیت‌دار است (احمدزاده هروی و همکاران، ۱۳۶۹؛ Bosak et al., 1998؛ Dastanpour et al., 2012؛ Bruthans et al., 2006).

۳- روش کار

با توجه به اینکه استفاده از روش‌های سنجش از دور و پردازش تصاویر ماهواره‌ای در شناسایی الگوهای خطی بسیار کارآمد است و این الگوهای خطی سطحی می‌توانند مرتبط با رژیم‌های زمین‌ساختی منطقه باشند (Mitra & Mount, 1998؛ Hessami et al., 2001؛ Talebian & Jackson, 2004؛ Rahnama-Rad et al., 2008؛ Leturmy et al., 2010)، در این پژوهش تصمیم گرفته شد که با استفاده از تصاویر ماهواره‌ای منطقه مورد مطالعه و انجام پردازش‌های مختلف روی آنها، خطواهای گسلی با دقت شناسایی شود و در ادامه در محیط GIS و با استفاده از روش‌هایی مانند روش وزن‌های نشانگر ارتباط این خطواههای با رخمنون گبدهای نمکی منطقه مورد بررسی قرار گیرد.

۳-۱. پردازش تصاویر ماهواره‌ای

به منظور انجام مطالعات دورنمایی از تصاویر ETM خربداری شده مربوط به سال ۲۰۰۸ در مرکز سنجش از دور ایران استفاده شد؛ همچینین پردازش تصاویر در نرم‌افزار Envi 4.7 صورت گرفت. برای شناسایی خطواههای افزون بر بررسی و استفاده از ترکیب‌های باندی متفاوت از جمله ترکیب باندی ۲، ۳ و ۴ که برای تحلیل ساختاری بسیار مفید است، از روش‌های مختلف دیگری نیز استفاده شد. یکی از روش‌های معمول برای استخراج ساختارهای خطی استفاده از تصویر سایه- بر جسته استفاده از نقشه‌های توپوگرافی رقومی (DEM) است؛ بدین صورت که با استفاده از نقشه‌های توپوگرافی رقومی با مقیاس ۱/۲۵۰۰۰ مربوط به منطقه، مدل ارتفاعی آن در نرم‌افزار Rivertools 2.4 تهیه می‌شود. آنگاه از روی مدل ارتفاع رقومی تهیه شده، تصویر سایه- بر جسته استخراج می‌شود. حال برای نمایش خطواههای در جهت‌های مختلف (جهت) به طور مجازی نور تابانده شد؛ با این کار، برخی از ساختارهای خطی شناسایی و رقومی شد (شکل ۳).

افزون بر آن، از روش‌های آشکارسازی لبه (Edge detection) و اعمال فیلتر نیز برای شناسایی این عوارض بهره گرفته شد؛ آشکارسازی در جهت‌های مختلف (جهت) صورت گرفت تا خطواههای موجود در همه جهت‌ها در منطقه مشخص شوند. افزون بر آن، از فیلتر حلقوی لاپلاسی N و از P نیز برای آشکارسازی عوارض خطی استفاده شد. به این ترتیب علایم خطی و شکستگی‌های موجود در منطقه شناسایی و رقومی شد.

۴-۴. خطواره شماره ۴

این گسل با طول ۱۵ کیلومتر یک گسل امتدادلغز راست گرد است که سبب جابه جایی در بخش خاوری محور تاقدیس هندون شده است (شکل ۶). این خطواره منطبق بر گسل اصلی پی سنگی (1969) Player است (شکل ۴).

۴-۵. خطواره شماره ۵

گسل شماره ۵ یک گسل امتدادلغز راست گرد با آزیموت ۱۲۷ درجه است، این گسل از باختر تاقدیس نمک آغاز می شود و تاقدیس های نمک، هندون، باز و موران را بر پیش می دهد و سبب ایجاد جابه جایی راست گرد در این تاقدیس ها می شود (شکل ۶). طول این گسل ۹۰ کیلومتر است. همچنین دو گند نمکی آرین و خورگو روی این گسل رخمنون یافته اند.

۴-۶. خطواره شماره ۶

این گسل با آزیموت ۲۹ درجه و با طول ۷۰ کیلومتر سبب ایجاد ساختارهای فروزیزشی در تاقدیس گنو شده است. گند نمکی گچین، کلات بالا و خورگو روی این گسل قرار دارند (شکل ۶).

۴-۷. خطواره شماره ۷

گسل شماره ۷ یک گسل امتدادلغز راست گرد با آزیموت ۵۸ درجه است. این گسل از شمال تاقدیس گاشو آغاز و سبب ایجاد خمش در محور تاقدیس فراقون شده است. طول این گسل ۱۸۰ کیلومتر است (شکل ۶).

۴-۸. خطواره شماره ۸

گسل شماره ۸ یک گسل امتدادلغز راست گرد با آزیموت ۱۸۳ درجه و در امتداد N-S است. در نتیجه عملکرد این گسل سطح محوری تاقدیس هندون دچار برش و جابه جایی شده است (شکل ۶). ایجاد گند نمکی آرین را می توان نتیجه عمل این گسل پی سنگی دانست. طول این گسل ۳۰ کیلومتر است.

۴-۹. خطواره شماره ۹

این گسل با امتداد NW-SE یک گسل امتدادلغز با آزیموت ۱۲۹ درجه است که سبب یک جابه جایی راست گرد در محور تاقدیس سرخون شده است. گسل شماره ۹ از گند نمکی گنو عبور کرده و طول آن ۶۰ کیلومتر است. این خطواره روی نقشه گسل های پی سنگی (1993) Nogol-e-Sadat et al. مانند نمکی در منطقه (یساقی و داوودی، ۱۳۸۴؛ مهشادنیا، ۱۳۸۱) Furst, 1990 است. (شکل های ۴ و ۶).

۴-۱۰. خطواره شماره ۱۰

این گسل با آزیموت ۱۳۳ درجه و با طول ۱۵۰ کیلومتر یک گسل چپ گرد است که از بخش خاوری تاقدیس گاشو شروع و سبب انحراف و خمین در بخش باختری محور تاقدیس گونیز و محور تاقدیس دزدونو شده است. در طول این گسل چهار گند نمکی قرار گرفته است (شکل ۷).

۴-۱۱. خطواره شماره ۱۱

گسل شماره ۱۱ یک گسل امتدادلغز راست گرد با آزیموت ۱۳۷ درجه است. این گسل سبب جابه جایی راست گرد در محور تاقدیس های سوره، گاشو و دزدونو شده است (شکل ۷). گند نمکی در مسیر این گسل پی سنگی قرار دارند. این گسل یکی از بزرگترین گسل های منطقه است؛ به گونه ای که طول آن ۳۲۰ کیلومتر است. این گسل کمانی به سمت باختر دارد. این خطواره منطبق بر گسل اصلی پی سنگی (N.I.O.C., 1977) است (شکل ۴).

۴-۱۲. خطواره شماره ۱۲

این گسل با امتداد NE-SW و با آزیموت ۳۵ درجه سبب ایجاد برش در بخش خاوری تاقدیس باز و بخش باختری تاقدیس هندون شده است. طول این گسل ۲۵ کیلومتر است (شکل ۷).

۴-۱۳. خطواره شماره ۱۳

این گسل با آزیموت ۵۸ درجه و با طول ۲۱۰ کیلومتر سبب انحراف و خمین

به منظور تعیین ارتباط میان خطواره های گسلی و گند نمکی مراحل زیر در محیط GIS انجام شد:

(۱) تبدیل نقشه خطواره های گسلی منطقه به لایه و کتوئی خطی.

(۲) تهیه مرکز گند نمکی منطقه به صورت یک لایه نقطه ای.

(۳) تبدیل نقشه و کتوئی خطواره های گسلی منطقه به رستر و سپس تهیه نقشه فواصل مشخص (با فاصله های ۱۰۰۰ متری) از آن.

(۴) تبدیل و کتوئی به رستر نقشه نقاط گند نمکی.

(۵) اندازه گیری تعداد نقاط درون هر محدوده دوتایی با روی هم اندازی لایه رستری نقاط گند نمکی و لایه رستری محدوده های دوتایی خطواره های گسلی.

(۶) محاسبه وزن ها و ضرایب بر پایه معادلات ۱ تا ۴.

(۷) محاسبه ضریب C و Studentised C.

در ادامه ارتباط میان عوامل تعیین می شود. قابل توجه است که مراحل کار در نرم افزار ArcGIS 9.3 انجام می گیرد. همچنین اندازه پیکسلی استفاده شده در تحلیل های رستری GIS 100×100 متر است.

۴- بحث

به نقشه در آوردن خطواره های گسلی یکی از اهداف بنیادین این پژوهش به شمار می آید. شناسایی خطواره های گسلی فرایندی حساس است که نیاز به تخصص و مهارت دارد و این دست نیافتی است جز با استفاده از روش های سنجش از دور همچون پردازش تصاویر ماهواره ای، فیلترینگ و شناسایی الگوها. افزون بر این، شواهد ریخت شناختی و ساختاری زیادی نیز به شناسایی آنها کمک می کند؛ مانند خمشه های رخ داده در روند محور چین ها و یا در امتداد هم قرار گرفتن گند نمکی در منطقه (یساقی و داوودی، ۱۳۸۴؛ مهشادنیا، ۱۳۸۱) Furst, 1990 (Jahani et al., 2007 & 2009; Bahroudi & Koyi, 2003; Berberian, 1995 اساس، ۳۴ خطواره در منطقه مورد مطالعه شناسایی و با نقشه گسل های پی سنگی (Player, 1969; N.I.O.C., 1977; Nogol-e-Sadat et al., 1993) و خطواره های مغناطیسی (Yousefi & Friedberg, 1978) منطقه مقایسه و ارتباط آنها تحلیل شد (شکل ۴) که در ادامه به تک تک آنها پرداخته می شود.

۴-۱. خطواره شماره ۱

این گسل با امتداد NE-SW و دارای زاویه آزیموت ۲۶ درجه، از گند نمکی های لارک و هرمز عبور می کند و سبب ایجاد انحراف و یک جابه جایی چپ گرد در بخش خاوری محور تاقدیس نمک می شود. این خطواره منطبق بر گسل اصلی پی سنگی (N.I.O.C., 1977) است (شکل های ۴ و ۵).

۴-۲. خطواره شماره ۲

گسل شماره ۲ یک گسل امتدادلغز با آزیموت ۱۲۹ درجه و در امتداد NW-SE است. در نتیجه عملکرد این گسل سطح محوری تاقدیس های فراقون و نمک، دچار خمین شده است (شکل ۵). گند نمکی در محدوده این گسل رخمنون یافته اند. طول این گسل ۱۳۰ کیلومتر است. این خطواره منطبق بر خطواره مغناطیسی (Yousefi & Friedberg, 1978) است (شکل ۴).

۴-۳. خطواره شماره ۳

این گسل به عنوان گسل میناب شناخته می شود، از اثرات این گسل می توان به عامل جهت گیری خاص تاقدیس میناب اشاره کرد. گسل میناب یک گسل امتدادلغز راست گرد با آزیموت ۱۶۵ درجه است. طول این گسل ۳۰۰ کیلومتر است. این خطواره هم توسط نقشه خطواره های مغناطیسی (Yousefi & Friedberg, 1978) هم توسط نقشه گسل های پی سنگی (Nogol-e-Sadat et al. 1993) مورد تأیید است (شکل های ۴ و ۵).

شده است. این گسل دارای طولی ۶۰ کیلومتری است (شکل ۹). این خطواره منطبق بر خطواره مغناطیسی (1978) Yousefi & Friedberg است (شکل ۴).

۲۲-۴. خطواره شماره ۲۲

این گسل با امتداد NE-SW و با آزیموت ۳۹ درجه گبند نمکی کجاق را قطع می‌کند. طول این گسل ۳۰ کیلومتر است (شکل ۹).

۲۳-۴. خطواره شماره ۲۳

گسل شماره ۲۳ با آزیموت ۳۵ درجه یک گسل امتدادلغز چپ گرد است (شکل ۱۰). این گسل از گبند نمکی مسیجون شروع و سبب ایجاد انحراف در بخش خاوری محور تاقدیس گچ و همچنین ایجاد انحراف در بخش خاوری محور گاویست، گزه، نمکی و چیرو شده است. ۷ گبند نمکی در امتداد این گسل پی‌سنگی رخمنون دارد. طول این گسل ۱۸۰ کیلومتر است. این خطواره منطبق بر گسل اصلی پی‌سنگی Player (1969) است (شکل ۴).

۲۴-۴. خطواره شماره ۲۴

این گسل با امتداد NE-SW و با آزیموت ۳۷ درجه به موازات گسل شماره ۲۳ است. از گبند نمکی چرو آغاز و سبب انحراف در محور تاقدیس های چیرو، نمکی، گزه، گاویست، گچ و کورده شده است. همچنین ۵ گبند نمکی در طول این گسل قرار دارد. طول این گسل ۲۴۰ کیلومتر است (شکل ۱۰). این خطواره هم توسط نقشه خطواره‌های مغناطیسی (1978) Yousefi & Friedberg پی‌سنگی N.I.O.C. (1977) مورد تأیید است (شکل ۴).

۲۵-۴. خطواره شماره ۲۵

این گسل امتدادلغز، راست گرد و با آزیموت ۴۵ درجه است. از اثرات آن می‌توان به انحراف راست گرد در محورهای تاقدیس های هور، کنه، گچ، بورخ، نخ و چمپه اشاره کرد (شکل ۱۰). ۷ گبند نمکی، مانند گبند نمکی گچ در تاقدیس گچ، گبند نمکی بم و گبند نمکی نمکدان در چیزیه قشم در راستا و امتداد این گسل رخمنون یافته‌اند. طول این گسل ۲۲۰ کیلومتر است.

۲۶-۴. خطواره شماره ۲۶

این گسل با امتداد NW-SE و با آزیموت ۱۴۵ درجه از گبند نمکی بم در جنوب خاور منطقه شروع می‌شود و گبندهای نمکی چهال، علی‌آباد و SP32 را در شمال باخته منطقه، قطع می‌کند. این گسل سبب انحراف در محور تاقدیس های گته، گچال، گچ، کورده، بونارویه، نصرآباد، دره نار و دوهو می‌شود (شکل ۱۰). این گسل با طول ۳۳۰ کیلومتر یکی از بزرگ‌ترین گسل‌های موجود در منطقه است. این خطواره هم توسط نقشه خطواره‌های مغناطیسی (1978) Yousefi & Friedberg و هم توسط نقشه گسل‌های پی‌سنگی N.I.O.C. (1977) مورد تأیید است (شکل ۴).

۲۷-۴. خطواره شماره ۲۷

این گسل امتدادلغز و چپ گرد با آزیموت ۵۷ درجه است و سبب جایه‌جایی چپ گرد در محور تاقدیس های گوم، گار و قندیل شده است. طول آن ۴۰ کیلومتر است (شکل ۱۱). این خطواره منطبق بر نقشه گسل‌های پی‌سنگی Nogol-e-Sadat et al. (1993) است (شکل ۴).

۲۸-۴. خطواره شماره ۲۸

این یک گسل امتدادلغز و راست گرد با آزیموت ۱۶۲ درجه بوده که گبند نمکی جهانی را قطع کرده و موجب انحراف در محور تاقدیس های افزار، میمند و بالاده شده است. ۶ گبند نمکی در راستای این گسل قرار دارند. طول این گسل ۱۱۰ کیلومتر است (شکل ۱۱). این خطواره منطبق بر نقشه گسل‌های پی‌سنگی Nogol-e-Sadat et al. (1993) است (شکل ۴).

۲۹-۴. خطواره شماره ۲۹

این گسل با آزیموت ۱۱۶ درجه گبندهای نمکی خوراب و فراشمن را قطع می‌کند و طول آن ۹۵ کیلومتر است (شکل ۱۱).

در محور تاقدیس خمیر شده و گبندهای نمکی بستانه، بندر معلم، حمیران، پل، گچین و گنو در امتداد این گسل قرار گرفته است. این خطواره روی نقشه گسل‌های پی‌سنگی Nogol-e-Sadat et al. (1993) منطبق است (شکل های ۴ و ۸).

۳۰-۴. خطواره شماره ۳۰

این گسل با امتداد NE-SW و با آزیموت ۲۵ درجه از گبند نمکی هنگام در جزیره هنگام شروع و سبب ایجاد انحراف در محور تاقدیس سوزا در جزیره قشم شده است (شکل ۸). طول این گسل ۲۸ کیلومتر است. این خطواره توسط نقشه گسل‌های پی‌سنگی Nogol-e-Sadat et al. (1993) تأیید است (شکل ۴).

۳۱-۴. خطواره شماره ۳۱

انهای خاوری محور تاقدیس خمیر توسط فعالیت گسلی امتدادلغز با مؤلفه راست گرد و با آزیموت ۲۷ درجه، منحرف شده است. این گسل با طول ۱۵۰ کیلومتر از گبند نمکی نمکدان، پل و انگورو می‌گذرد (شکل ۸). این خطواره منطبق بر گسل اصلی پی‌سنگی N.I.O.C. (1977) است (شکل ۴).

۳۲-۴. خطواره شماره ۳۲

گسل شماره ۱۶ با آزیموت ۱۹ درجه و تحدب کم به سوی خاور از سوی باخته تاقدیس شمیلو در شمال شروع و سبب انحراف در محور تاقدیس های شولز، باویون، هرنگ، چمپه و بستانه شده است (شکل ۸). در طول این گسل ۷ گبند نمکی رخمنون دارند. جهت یافته‌گی طولی گبند نمکی زندان رامی توان ناشی از عملکرد این گسل دانست. امتداد این گسل تا جزایر فارور بزرگ و کوچک نیز کشیده می‌شود. طول این گسل ۱۸۰ کیلومتر است. این خطواره منطبق بر گسل اصلی پی‌سنگی Player (1969) است (شکل ۴).

۳۳-۴. خطواره شماره ۳۳

این گسل با امتداد NE-SW و با آزیموت ۶۴ درجه از گبند نمکی موغویه شروع می‌شود. از ویژگی‌های بی‌همتای این گسل می‌توان به رخمنون ۶ گبند نمکی با فواصل منظم در امتداد این گسل پی‌سنگی اشاره کرد. این گسل سبب جایه‌جایی چپ گرد در محور تاقدیس های هرنگ، باویون و چمپه شده است (شکل ۸). این خطواره هم توسط نقشه گسل‌های پی‌سنگی (1978) Yousefi & Friedberg و هم توسط نقشه گسل‌های پی‌سنگی Player (1969) و Nogol-e-Sadat et al. (1993) مورد تأیید است (شکل ۴).

۳۴-۴. خطواره شماره ۳۴

گسل شماره ۱۸ با آزیموت ۵۳ درجه یک گسل امتدادلغز چپ گرد است (شکل ۸). این گسل سبب انحراف چپ گرد در محور تاقدیس های هرنگ، نمک و نخ شده است. طول آن ۱۵۰ کیلومتر است و گبندهای نمکی چهار ک، چهار بر که و بم در امتداد این گسل قرار دارند. این خطواره هم توسط نقشه گسل‌های پی‌سنگی (1978) Yousefi & Friedberg و هم توسط نقشه گسل‌های پی‌سنگی Player (1969) و Nogol-e-Sadat et al. (1993) مورد تأیید است (شکل ۴).

۳۵-۴. خطواره شماره ۳۵

این گسل با آزیموت ۶۰ درجه و با طول ۸۰ کیلومتر سبب انحراف و خمش در محور تاقدیس دزدونو و موران شده است و گبندهای نمکی شمیلو، خاین، موران و تنگه زاغ در امتداد این گسل قرار گرفته‌اند (شکل ۸). این خطواره منطبق بر نقشه گسل‌های پی‌سنگی Nogol-e-Sadat et al. (1993) است (شکل ۴).

۳۶-۴. خطواره شماره ۳۶

گسل امتدادلغز راست گرد با آزیموت ۵۱ درجه سبب ایجاد جایه‌جایی در محور تاقدیس دشت کثار شده است. طول این گسل ۵۰ کیلومتر است (شکل ۹).

۳۷-۴. خطواره شماره ۳۷

گسل شماره ۲۱ با آزیموت ۷۱ درجه سبب کنترل گبندهای نمکی SP34 و

فاصله ۱۰۰۰ متری، مقدار عددی (C/s) ۹/۴۲۷ به دست آمده است - که این بیشترین عدد را نشان می‌دهد - می‌توان بیشترین ارتباط میان این دو پدیده را در این فاصله عنوان کرد؛ حال هر چه این فاصله از گسل بیشتر شود میزان ارتباط نیز کمتر می‌شود. بر پایه تئوری روش وزن‌های نشانگر، هرچه میزان عدد به دست آمده برای ستون آخر بزرگ‌تر باشد ارتباط میان دو پدیده بیشتر است و به هر میزان که این عدد کمتر شود ارتباط نیز کمتر خواهد شد؛ این ارتباط تا عدد ۲ ادامه دارد؛ یعنی این کمتر نسبت عددی C/s(C) کمتر از ۲ بشود دیگر هیچ گونه ارتباطی را نمی‌توان مشخص کرد. نتایج این پژوهش نشان می‌دهد که اگر چه بیشترین ارتباط میان گبدهای نمکی و گسل‌ها در فاصله ۱ کیلومتری به دست آمده است، ولی این ارتباط تا فاصله ۹ کیلومتری نیز ادامه دارد؛ هرچند ضعیف‌تر. از این موضوع می‌توان نتیجه گرفت که در هر صورت زمین ساخت منطقه و گسل‌ها عوامل مهم و تاثیرگذاری در رخنمون‌یابی گبدهای نمکی و پراکنش آنها در منطقه مورد مطالعه هستند. افزون بر این از میان گبدهای نمکی رخنمون یافته در منطقه مورد مطالعه ۴۵ عدد آنها دقیقاً روی گسل‌ها قرار دارند یعنی ۳۶ درصد از گبدهای نمکی را می‌توان نتیجه عملکرد مستقیم گسل‌ها دانست.

۶- نتیجه‌گیری

مطالعات سنجش از دور و پردازش‌های مختلف روی تصاویر ماهواره‌ای همچون تجزیه تصاویر سایه - برجسته، فیلتر گذاری و ایجاد خمس در روند محور چین‌ها نشان‌دهنده روندهای خطی ساختاری مشخص در منطقه است. بر این اساس ۳۴ خطواره مشخص شد که از این میان ۱۹ تا از آنها برای اولین بار معرفی شده است. با بررسی نقشه‌های گسل‌های اصلی پی‌سنگی (Player 1969) و N.I.O.C. (1977) و Nogol-e-Sadat et al. (1993) و Yousefi & Friedberg (1978) و مقایسه آن با خطواره‌های شناسایی شده در این مطالعه (شکل ۴)، دیده می‌شود که برخی از خطواره‌ها و بهنه‌های شناسایی شده منطبق با برخی از گسل‌های اصلی پی‌سنگی و خطواره‌های مغناطیسی هستند. برای نمونه خطواره‌های ۲ و ۳ به موازات خطواره‌های مغناطیسی در شکل ۴ و یا خطواره‌های ۱۸ و ۱۹ منطبق بر خطواره‌های مغناطیسی و گسل‌های پی‌سنگی هستند. این انتباخت‌ها می‌توانند بیانگر پی‌سنگی بودن خطواره‌های شناسایی شده باشد. همچنین الگوی جایگیری گبدهای نمکی نیز بیشتر به صورت خطی است و از روند خطواره‌ها پیروی می‌کنند. بر پایه روش آماری وزن‌های نشانگر، بیشترین ارتباط مکانی از دید کمی، میان خطواره‌های گسلی و گبدهای نمکی در فاصله ۱ کیلومتری به دست آمد. بنابراین می‌توان عامل زمین ساخت را یکی از مهم‌ترین عوامل در جایگیری و رخنمون یافتن گبدهای نمکی در سطح زمین دانست.

۴- ۳۰. خطواره شماره ۳۰

این گسل با امتداد NE-SW یک گسل امتدادلغز راست گرد با آزیموت ۳۵ درجه است و سبب ایجاد برش در تاقدیس آبدان شده است (شکل ۱۱).

۴- ۳۱. خطواره شماره ۳۱

این گسل امتدادلغز و چپ گرد با آزیموت آن ۵۵ درجه است و سبب جابه‌جایی چپ گرد در محور تاقدیس خورموج شده است. طول آن ۲۰ کیلومتر است (شکل ۱۱).

۴- ۳۲. خطواره شماره ۳۲

این گسل با روند NE-SW امتدادلغز و چپ گرد است، آزیموت آن ۵۱ درجه و سبب جابه‌جایی چپ گرد در محور تاقدیس سیاه شده است. طول آن ۲۰ کیلومتر است (شکل ۱۱).

۴- ۳۳. خطواره شماره ۳۳

این گسل معروف به گسل قطر - کازرون است (Sepehr & Cosgrove., 2005). گسلی از نوع امتدادلغز و راست گرد با روند تقریبی شمالی - جنوبی است و طول آن به ۲۷۰ کیلومتر می‌رسد. در حقیقت این گسل کنترل کننده بخش باختری حوضه نمکی هرمز است. در مسیر خود سبب جابه‌جایی و خمش در محور تاقدیس‌های ناخه، سربالش و مرغ شده است. گبد نمکی خورموج روی این گسل رخنمون دارد (۱۱). این خطواره منطبق بر نقشه گسل‌های پی‌سنگی Nogol-e-Sadat et al. (1993) است (شکل ۴).

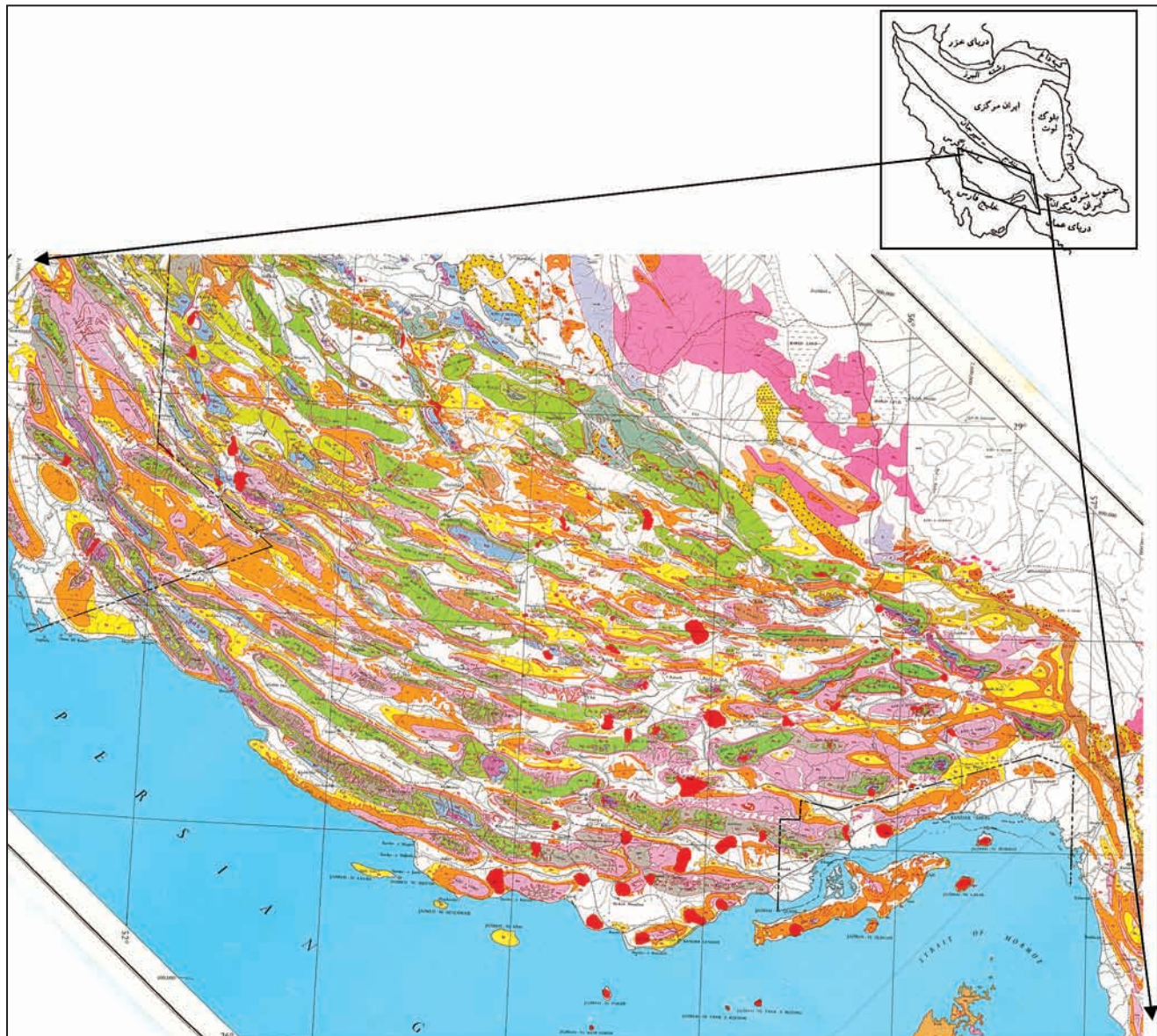
۴- ۳۴. خطواره شماره ۳۴

این گسل معروف به گسل رازک است. گسلی از نوع امتدادلغز و راست گرد با روند تقریبی NE-SW است و طول آن به ۲۶۰ کیلومتر می‌رسد. این گسل در مسیر خود سبب جابه‌جایی و خمش در محور تاقدیس‌های مختلفی شده است که در شکل ۱۲ مشخص است. این خطواره منطبق بر نقشه گسل‌های پی‌سنگی Nogol-e-Sadat et al. (1993) است (شکل ۴).

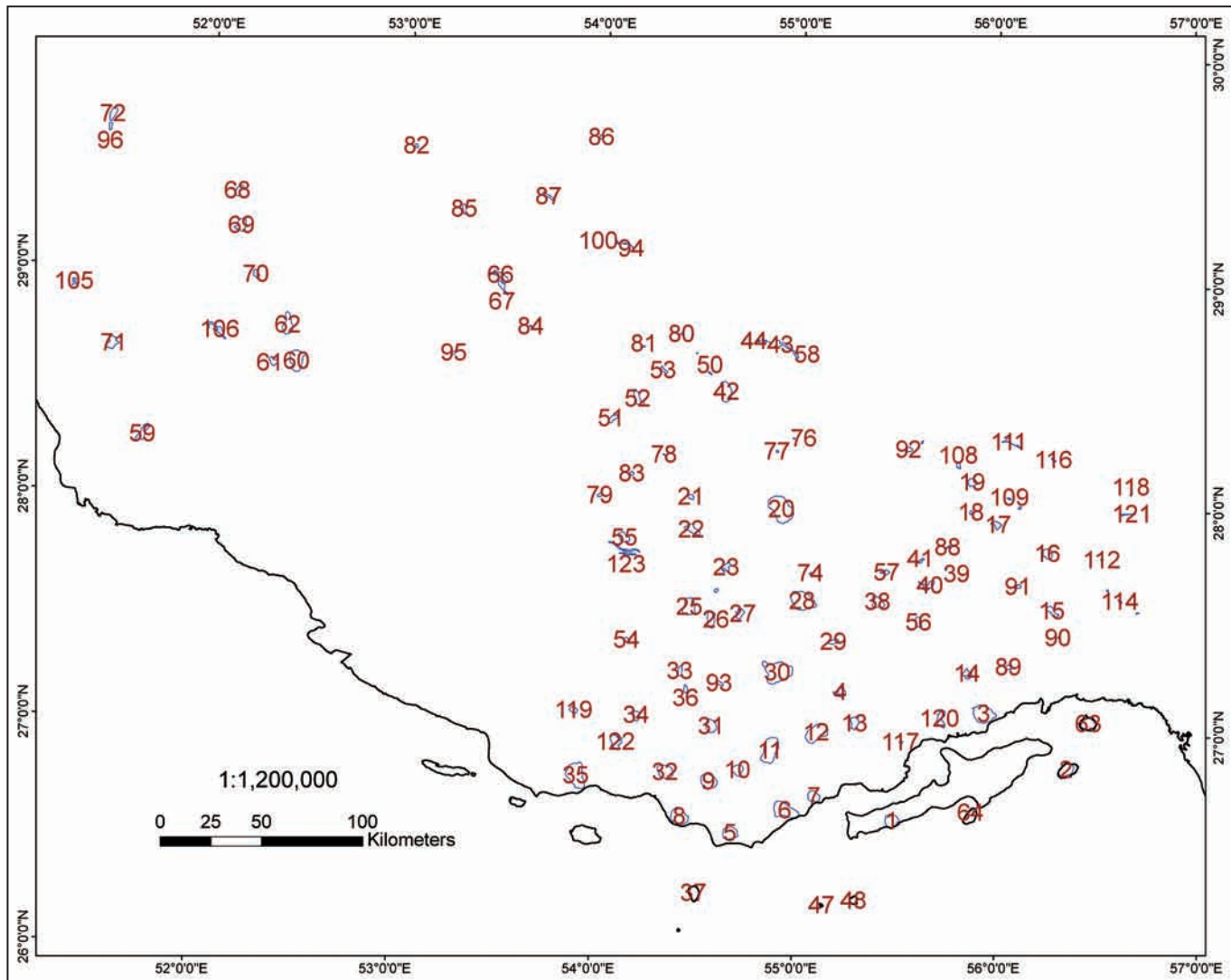
گفتنی است که از میان خطواره‌های گسلی نامبرده، ۱۹ گسل برای اولین معرفی می‌شود که این گسل‌ها شامل گسل‌های شماره ۲ تا ۸، ۱۰، ۱۲، ۱۴، ۲۰ تا ۲۲، ۲۵ و ۲۹ تا ۳۲ هستند.

۵- تعیین ارتباط میان خطواره‌های گسلی و گبدهای نمکی سری هرمز

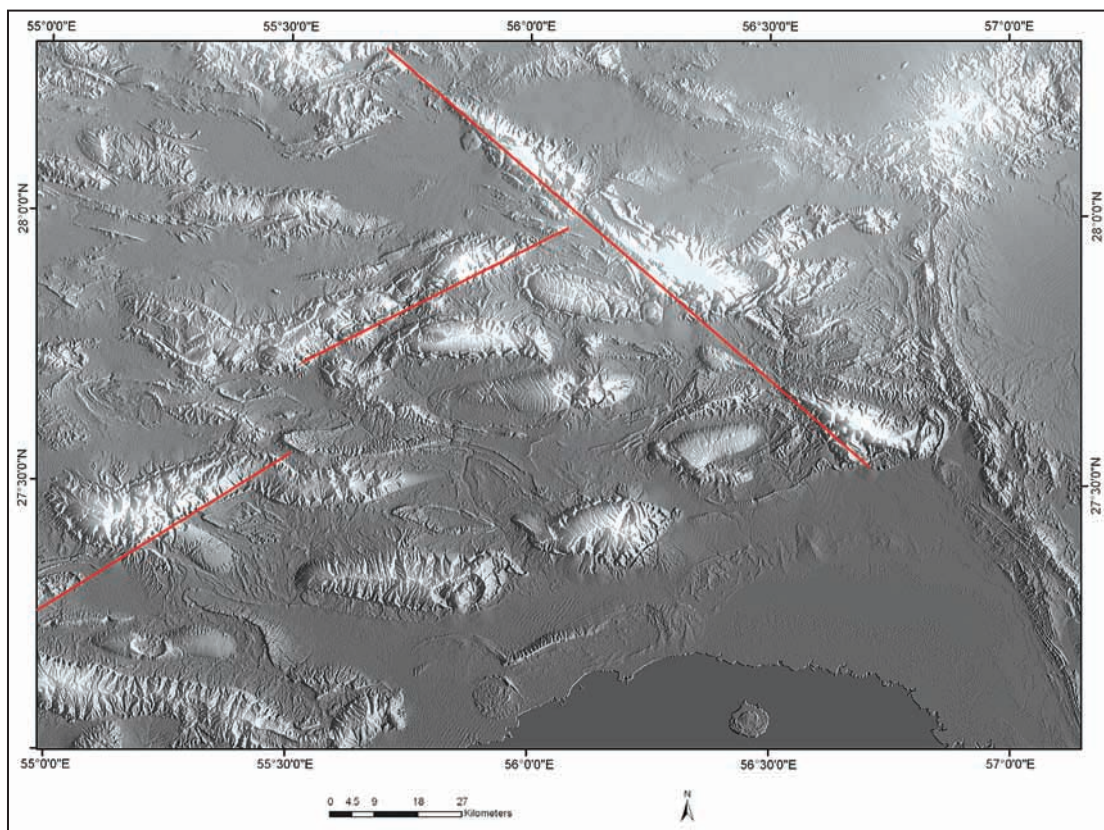
همان‌گونه که در روش کار توضیح داده شد در ابتدا روی نقشه خطواره‌های گسلی بافرهایی به فواصل ۱۰۰۰ متری طراحی می‌شود و سپس نقشه مراکز گبدهای نمکی روی آن قرار می‌گیرد و ضرایب مربوطه محاسبه می‌شود. با توجه به شکل ۱۳، فاصله مطلوب گبدهای نمکی از امتداد خطواره‌ها بر پایه نتایج روش وزن‌های نشانگر (جدول ۱) دیده می‌شود. همان‌گونه که در جدول مشخص است با توجه به اینکه در



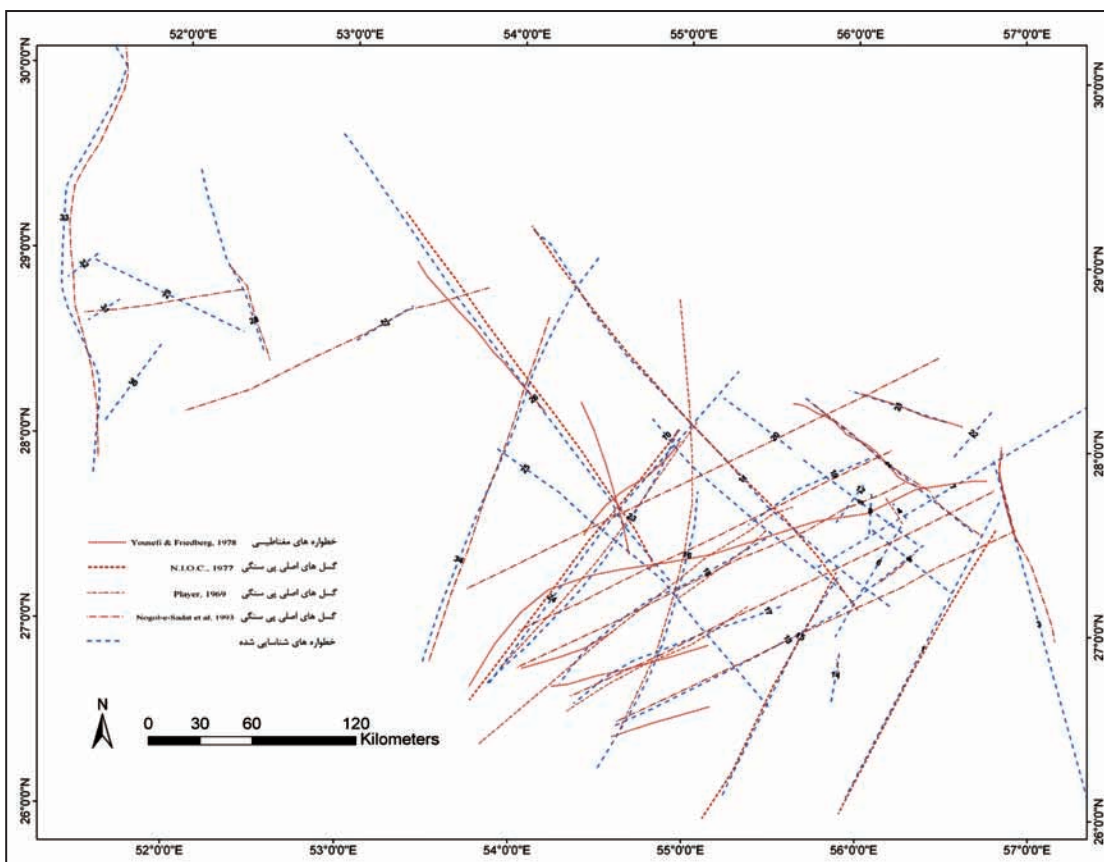
شکل ۱ - محدوده مورد مطالعه.



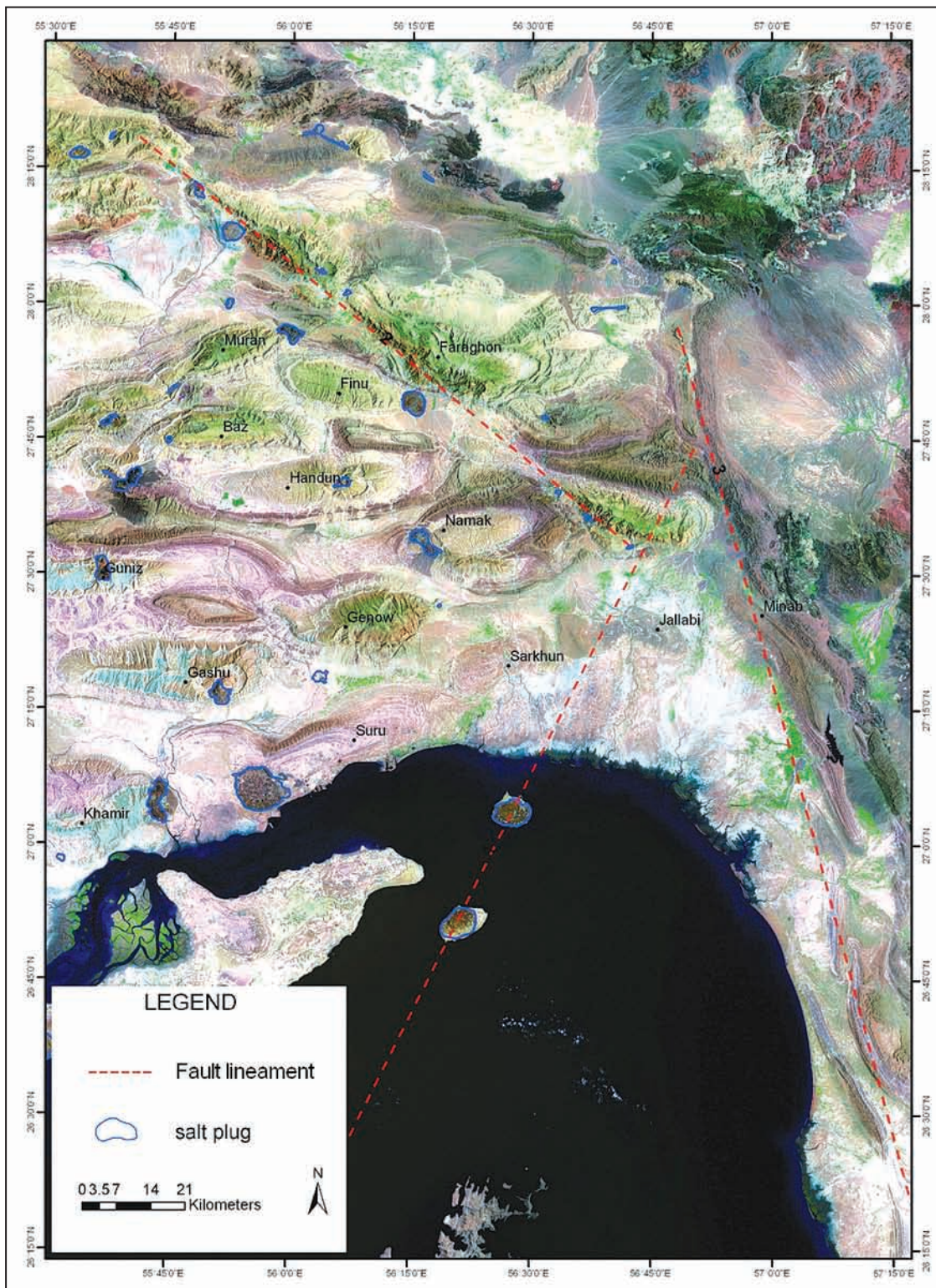
شکل ۲- نقشه پراکنش گیبدهای نمکی منطقه مورده مطالعه و نام آنها: ۱- نمکدان، ۲- لارک، ۳- گچین، ۴- ایلچن، ۵- بوستانه، ۶- بندر معلم، ۷- حمیران، ۸- مغوبه، ۹- چاه مسلم، ۱۰- چمهه، ۱۱- زندان، ۱۲- دوآوو (دوآبی)، ۱۳- میلتون، ۱۴- انگورو، ۱۵- خورگو، ۱۶- فینو، ۱۷- تنگ زاغ، ۱۸- پلنگو، ۱۹- سعادت آباد، ۲۰- مسیجون، ۲۱- بناکوه، ۲۲- ده کویه، ۲۳- کورده، ۲۴- علی آباد، ۲۵- گچ، ۲۶- سیاه تاق، ۲۷- چهال، ۲۸- چامبانو، ۲۹- شو، ۳۰- بم، ۳۱- چهارپرکه، ۳۲- چارک (دمن)، ۳۳- گاوست (بستک) ۲، ۳۴- گز، ۳۵- چبرو (کلات)، ۳۶- پر دلاور (بستک) ۱، ۳۷- شمیلو، ۳۸- SP1، ۳۹- تاریو، ۴۰- تاشکد، ۴۱- خاین، ۴۲- SP19، ۴۳- SP37، ۴۴- SP18، ۴۵- SP38، ۴۶- SP39، ۴۷- SP2، ۴۸- SP3، ۴۹- SP4، ۵۰- SP22، ۵۱- شاه علمدار، ۵۲- SP26، ۵۳- SP25، ۵۴- پشکند، ۵۵- نمکی، ۵۶- گرد و سیاه، ۵۷- درمندان، ۵۸- SP5، ۵۹- SP40، ۶۰- جهانی، ۶۱- خوراب، ۶۲- کنارسیاه، ۶۳- هرمز، ۶۴- هنگام، ۶۵- SP6، ۶۶- SP32، ۶۷- SP31، ۶۸- SP41، ۶۹- رونقون، ۷۰- تل نمکدون، ۷۱- SP7، ۷۲- کمارچ، ۷۳- SP42، ۷۴- گورو، ۷۵- قلعه شور، ۷۶- SP13، ۷۷- SP20، ۷۸- SP12، ۷۹- جلال آباد، ۸۰- SP28، ۸۱- SP29، ۸۲- داریان، ۸۳- بنا رویه، ۸۴- سروستان، ۸۵- SP31، ۸۶- چاه گز، ۸۷- قشنگویه، ۸۸- موران، ۸۹- قلات بالا، ۹۰- گنو، ۹۱- آرین، ۹۲- SP8، ۹۳- زنگار، ۹۴- گردنه نیرین، ۹۵- SP33، ۹۶- SP9، ۹۷- SP10، ۹۸- SP11، ۹۹- SP14، ۱۰۰- SP15، ۱۰۱- SP16، ۱۰۲- SP17، ۱۰۳- SP21، ۱۰۴- SP23، ۱۰۵- SP27، ۱۰۶- SP30، ۱۰۷- فراشبند، ۱۰۸- SP35، ۱۰۹- گهکم شرق، ۱۱۰- سرمند، ۱۱۱- SP34، ۱۱۲- کوشک کوه غرب، ۱۱۳- تاخو، ۱۱۴- SP23، ۱۱۵- درست، ۱۱۶- SP36، ۱۱۷- خمیر، ۱۱۸- خمیر، ۱۱۹- کجاق، ۱۲۰- خمشک، ۱۲۱- پل، ۱۲۲- بنگود احمدی، ۱۲۳- گنه، ۱۲۴- زینا.



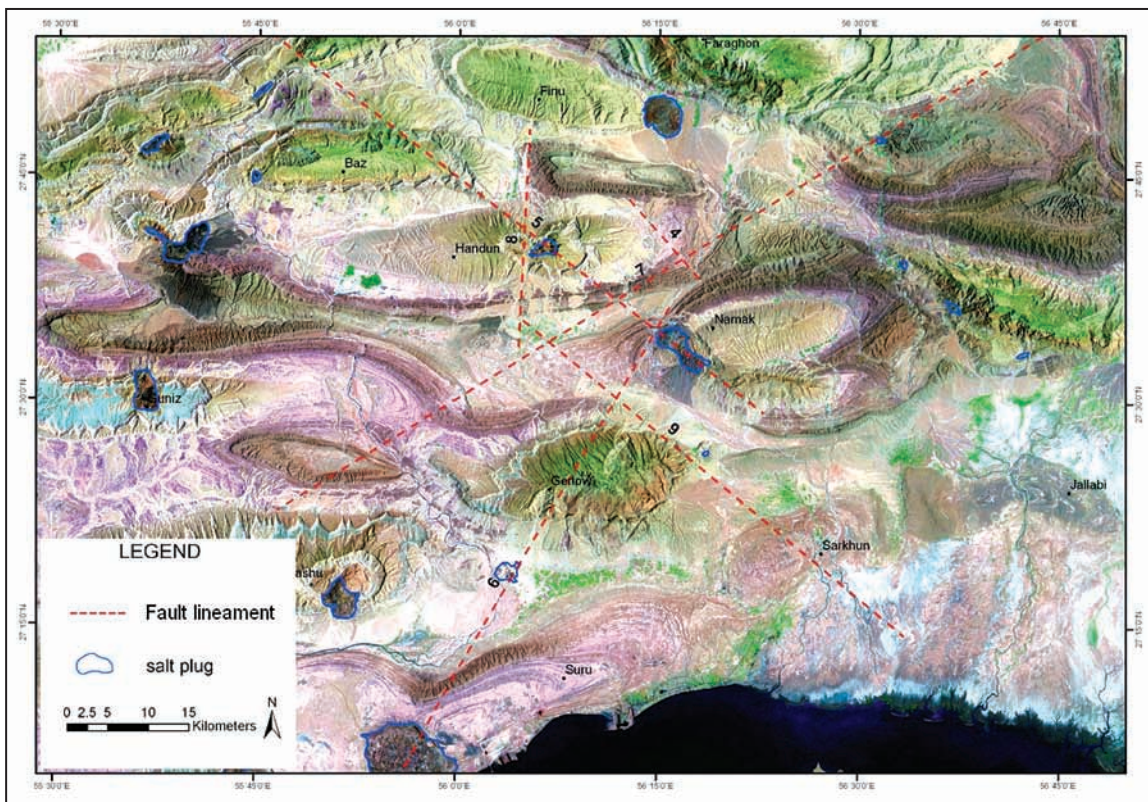
شکل ۳- تصویر Shaded-relief با نورپردازی شمال باختی برای استخراج خطواره‌ها. شماری از خطواره‌ها با رنگ سرخ مشخص هستند.



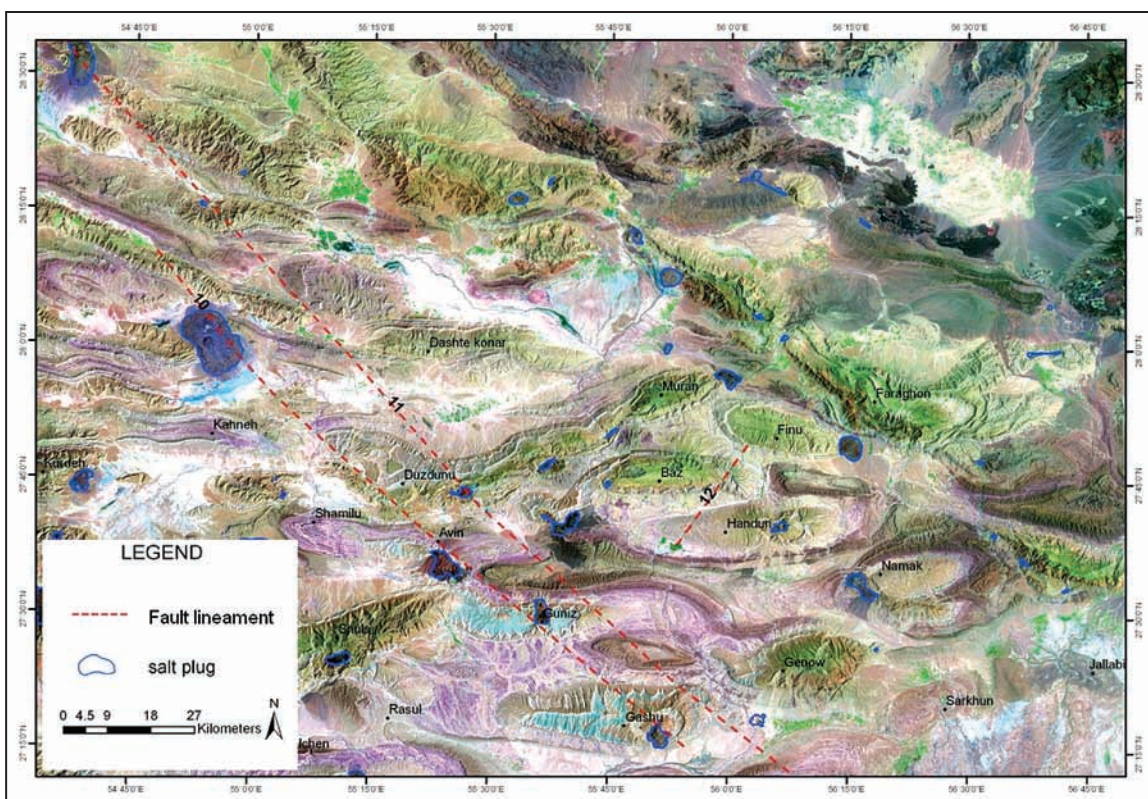
شکل ۴- خطواره‌های استخراج شده و مقایسه آنها با خطواره‌های مغناطیسی و گسل‌های اصلی پی سنگی.



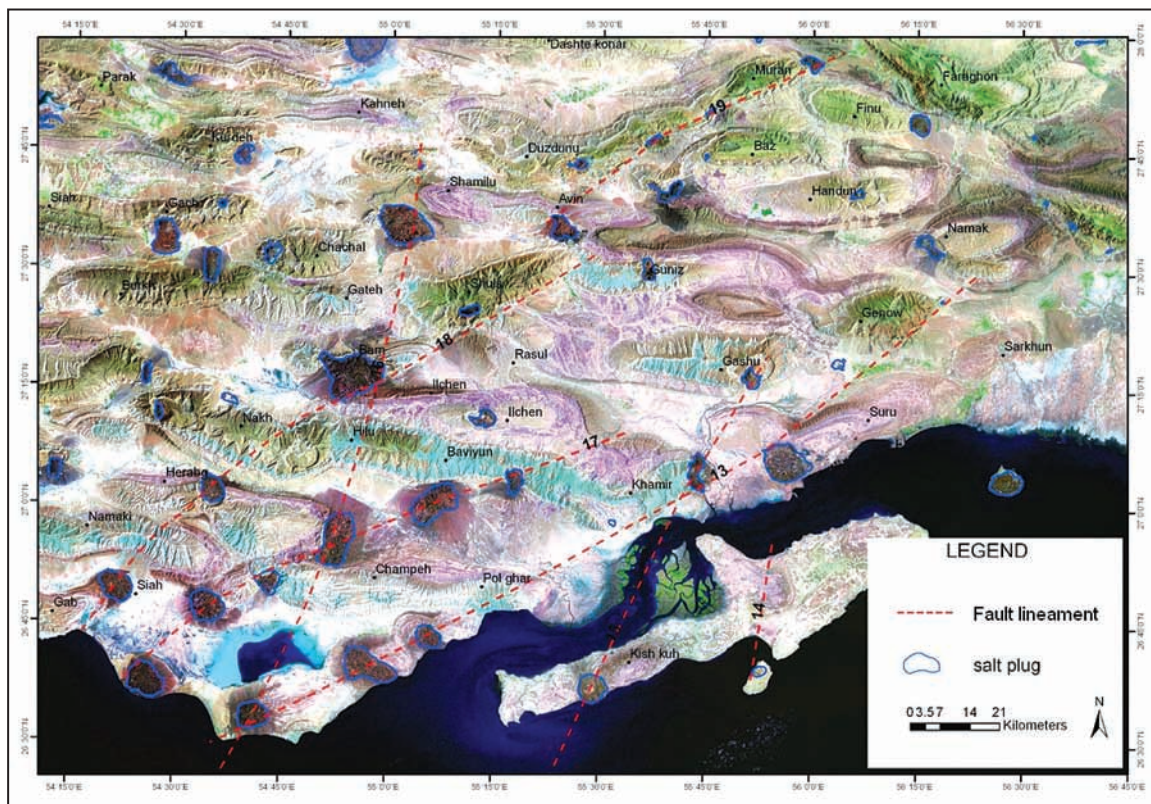
شکل ۵-موقعیت گسل‌های ۱، ۲ و ۳.



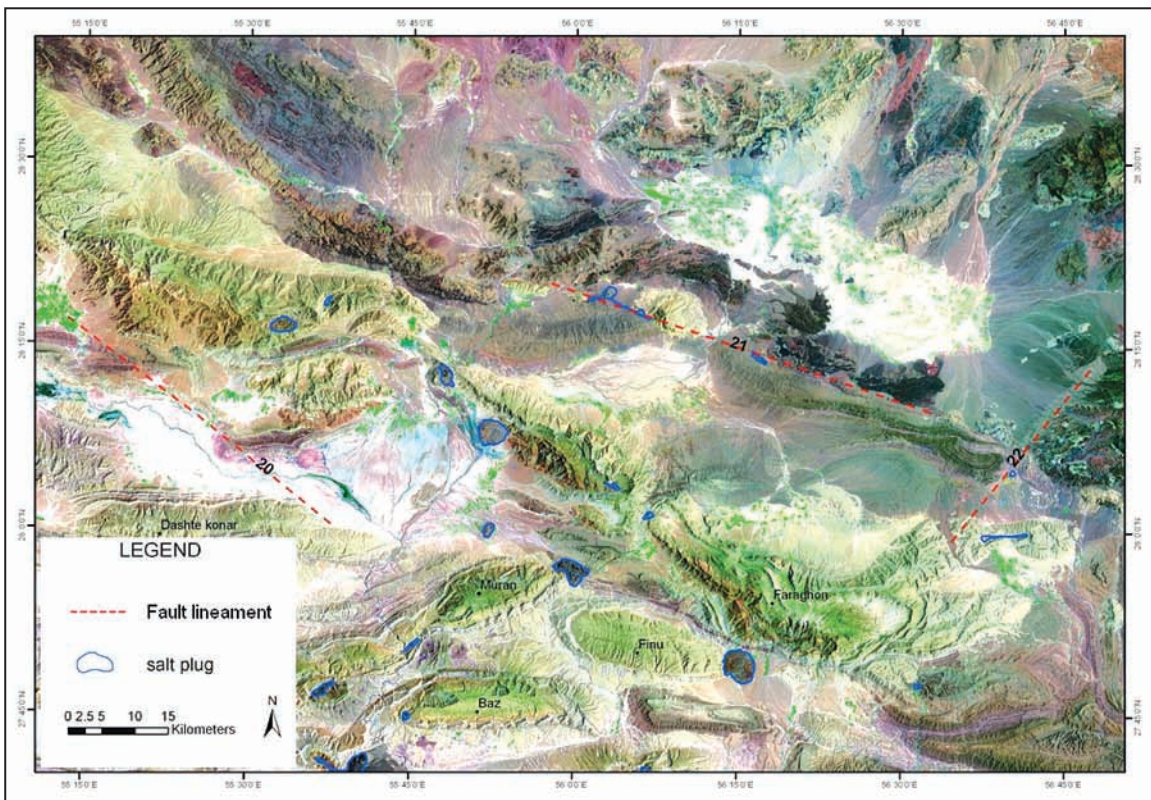
شکل ۶- موقعیت گسل‌های ۴، ۵، ۶، ۷، ۸ و ۹.



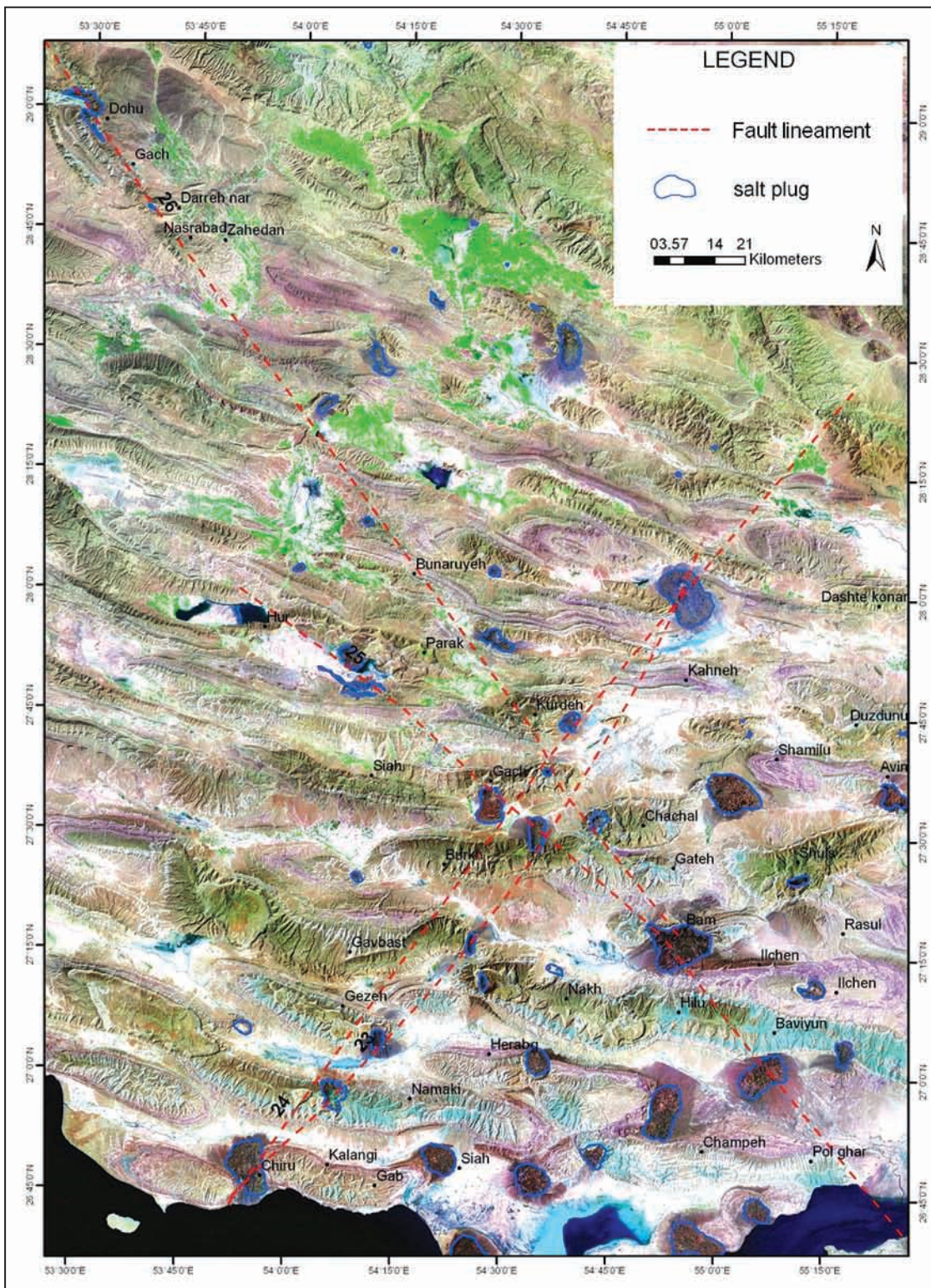
شکل ۷- موقعیت گسل‌های ۱۰، ۱۱ و ۱۲.



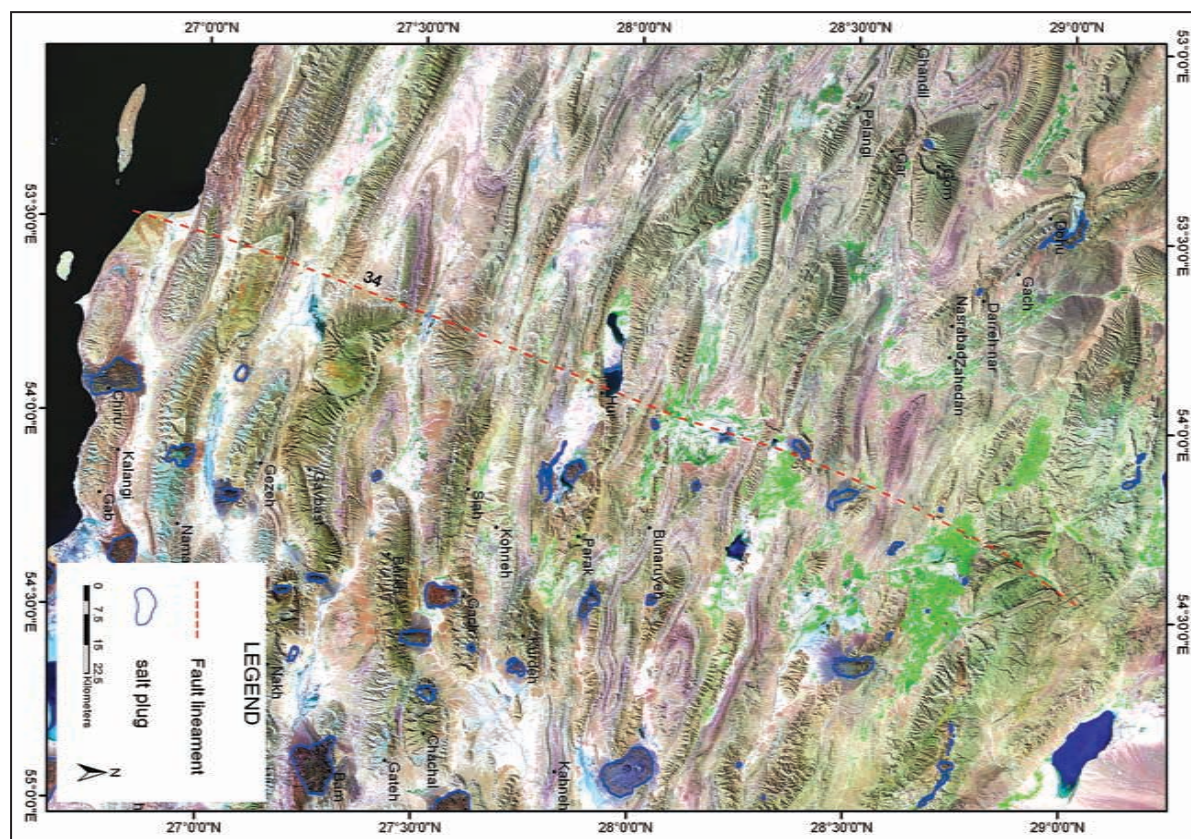
شکل ۸- موقعیت گسل‌های ۱۳، ۱۴، ۱۵، ۱۶، ۱۷، ۱۸، ۱۹ و ۲۰.



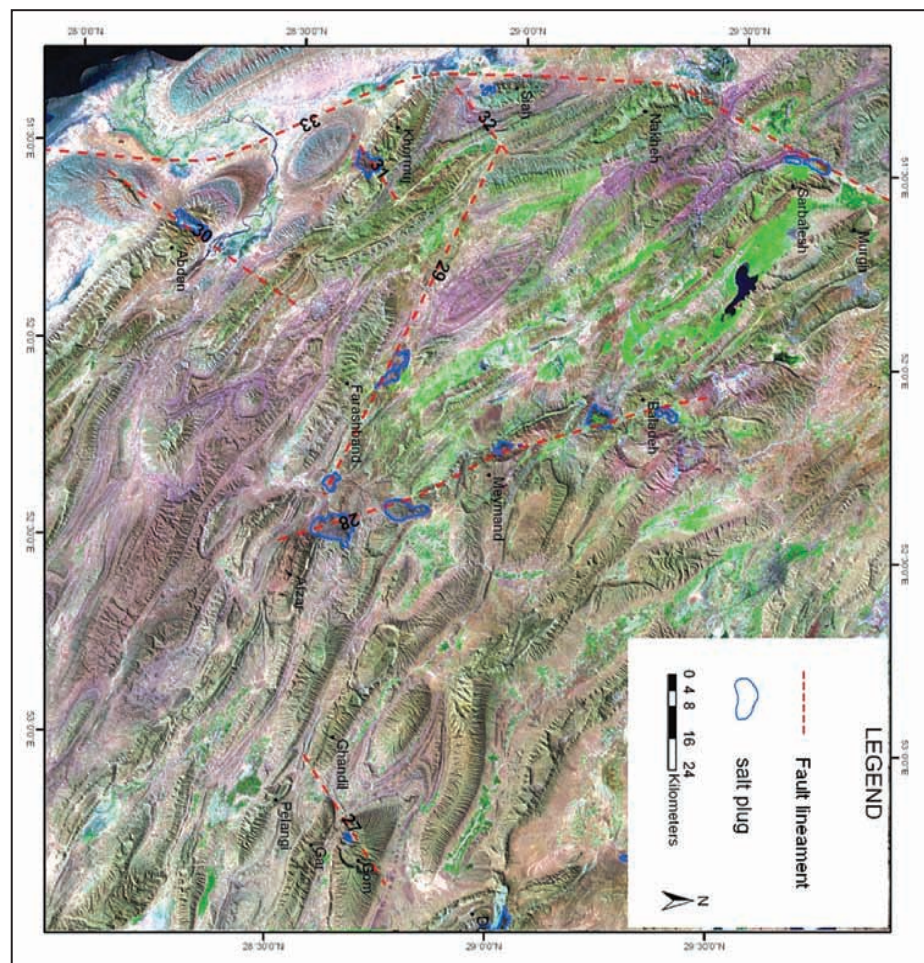
شکل ۹- موقعیت گسل‌های ۲۰، ۲۱ و ۲۲.



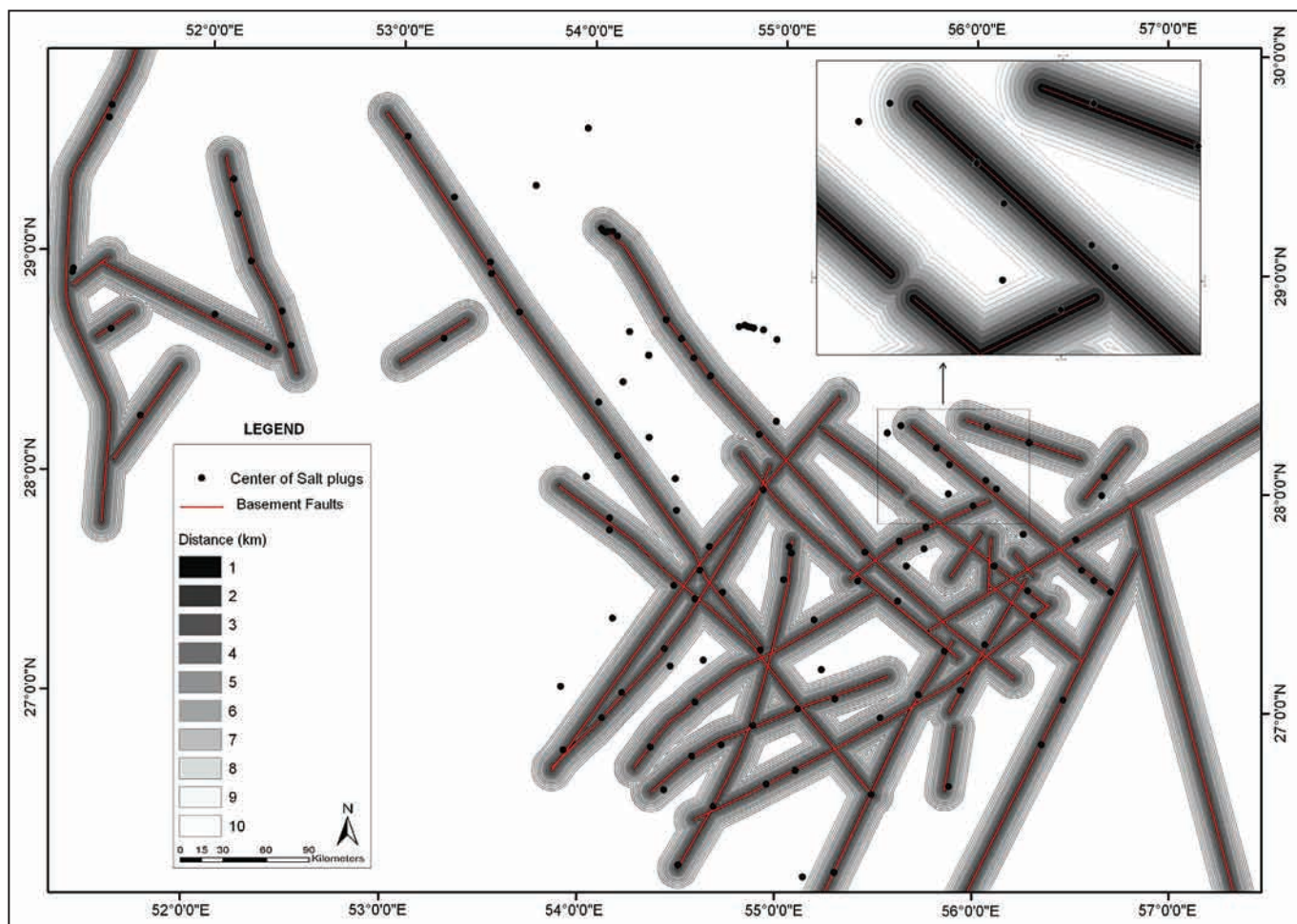
شکل ۱۰- موقعیت گسل‌های ۲۶، ۲۵، ۲۴ و ۲۳.



شکل ۱۲ - موقعیت گسل شماره ۳۴.



شکل ۱۱ - موقعیت گسل های ۳۱، ۳۰، ۳۲ و ۳۳.



شکل ۱۳- ارتباط میان گنبدهای نمکی و گسل‌های منطقه.

جدول ۱- تغییرات وزن‌ها و تباين‌ها برای فواصل تجمعی از امتداد گسل‌ها نسبت به مرکز گنبدهای نمکی.

Distance buffer (km)	Area-Km ²	No. points	W+	s(W+)	W-	s(W-)	C	s(C)	C/s(C)
1	8346	45	1.3579	0.1495	-0.4818	0.1361	2.0835	0.2210	9.4271
2	16476	70	1.1184	0.1198	-0.9651	0.1857	1.8397	0.2022	9.0991
3	24317	86	0.9343	0.1080	-1.6127	0.2774	2.5471	0.2977	8.5564
4	31862	88	0.6863	0.1067	-1.6039	0.3016	2.2903	0.3199	7.1595
5	39085	90	0.5040	0.1055	-1.6012	0.3334	2.1052	0.3497	6.0203
6	45951	95	0.3960	0.1027	-2.1709	0.5000	2.5669	0.5105	5.0283
7	52607	95	0.2605	0.1027	-1.8634	0.5001	2.1239	0.5105	4.1605
8	59042	96	0.1553	0.1021	-1.7235	0.5774	1.8789	0.5864	3.2041
9	65203	98	0.0766	0.1011	-2.1072	1.0001	2.1838	1.0052	2.1725
10	71104	99							

کتابنگاری

- احمدزاده هروی، م.، هوشمندزاده، ع. و نبوی، م.ح.، ۱۳۶۹- مفاهیم جدیدی از چینه‌شناسی سازند هرم و مستله دیاپیریزم در گلبدهای نمکی جنوب ایران، مجموعه مقالات سمپوزیوم دیاپیریسم با نگرش ویژه به ایران، وزارت معادن و فلزات، جلد اول، ص ۲۲-۱.
- مطیعی، م.، ۱۳۴۲- زمین‌شناسی نفت زاگرس-، سازمان زمین‌شناسی کشور، ۱۰۰۹ ص.
- مهشاد نیا، ف.، ۱۳۸۱- استفاده از رهیافت دورسنجی در شناخت گسل‌های پنهان و دگریختی‌های آنها در جنوب خاوری زاگرس، پایان‌نامه کارشناسی ارشد، دانشگاه تربیت مدرس، ۲۳۴ ص.
- یاسافی، ع. و داوودی، ز.، ۱۳۸۴- شناسایی گسل‌های و پهنه‌های عرضی- برشی زیرسطحی و تحلیل اثر دگریختی‌های آنها بر کمریند چین خورده- رانده شده زاگرس در پهنه دزفول، مجله علوم دانشگاه تهران، جلد سی و دوم، شماره ۲.

References

- Agard, P., Omrani, J., Jolivet, L., Whitechurch, H., Vrielynck, B., Spakman, W., Monie, P., Meyer, B. & Wortel, R., 2011- Zagros orogeny: a subduction dominated process. *Geological Magazine*, 148: 692–725.
- Ala, M. A., 1974- Salt diapirism in southern Iran. *Amer. Assoc. Petrol. Geol. Bull.*, 58(9): 1758-1770.
- Alavi, M., 2004- Regional stratigraphy of the Zagros fold-thrust belt of Iran and its proforeland evolution. *American Journal of Science*, 34 (1): 1-20.
- Authemayou, C., Chardon, D., Bellier, O., Malekzadeh, Z., Shabani, E. & Abbassi, M. R., 2006- Late Cenozoic partitioning of oblique plate convergence in Zagros fold-and-thrust belt (Iran). *Tectonics*, 25: TC3002.
- Bahroudi, A. & Koyi, H. A., 2003- Effect of spatial distribution of Hormuz salt on deformation style in the Zagros fold and thrust belt: An analogue modeling approach. *J. Geol. Soc.*, 160: 719–733.
- Berberian, M., 1995- Master ‘blind’ thrust faults hidden under the Zagros folds: Active basement tectonics and surface morphotectonics. *Tectonophysics*, 241: 193–224.
- Bonham-Carter, G. F., 1994- Geographic Information Systems for Geoscientists: Modelling with GIS. Pergamon Press, Oxford, 398 p.
- Bosak, P., Jaros, J., Spudil, J., Sulovsky, P. & Vaclavek, V., 1998- Salt Domes in the Eastern Zagros, Iran: Results of Regional Geological Reconnaissance. *GeoLines (Praha)*, 7: 3-174.
- Bruthans, J., Filippi, M., Gerl, M., Zare, M., Melkov, J., Pazdur, A. & Bosak, P., 2006- Holocene marine terraces on two salt diaps in the Persian Gulf, Iran: age, depositional history and uplift rates. *Journal of Quaternary Science*, 21(8): 843–857.
- Dastanpour, M., Mehrabi, A., Derakhshani, R., Radfar, S. & Vaziri, M. R., 2012- Stratigraphy of Hormoz Formation in Gachin salt dome in Iran, Proceedings of the Annual International Conference on Geological & Earth Sciences, Singapore, 48-50.
- Farhoudi, G., Faghih, A., Mosleh, H., Keshavarz, T., Heyhat, M. R. & Rahnama-Rad, J., 2008- Using GIS/RS techniques to interpret different aspects of salt domes in southern Iran. *Geophysical Research Abstracts*, 10: 652-661.
- Farzipour-Saein, A., Nilfouroushan, F. & Koyi, H., 2013- The effect of basement step/topography on the geometry of the Zagros fold and thrust belt (SW Iran): an analog modeling approach. *International Journal of Earth Sciences*, 102(8): 2117-2135.
- Furst, M., 1990- Strike-slip faults and diapirism of the southeastern Zagros ranges. *Proc. Symp. On Diapirism with Special Reference to Iran*, 2: 149-182.
- Hessami, K., Koyi, H. A. & Talbot, C. J., 2001- The significance of strike-slip faulting in the basement of the Zagros fold and thrust belt. *Journal of Petroleum Geology*, 24: 5-28.
- Jahani, S., Callot, J. P., Frizon de Lamotte, D. & Letouzey, J., 2009- The eastern termination of the Zagros Fold-and-Thrust Belt, Iran: Structures, evolution, and relationships between salt domes, folding, and faulting. *Tectonics*, 28: TC6004.
- Jahani, S., Callot, J. P., Frizon de Lamotte, D., Letouzey, J. & Leturmy, P., 2007- The salt diaps of the eastern Fars province (Zagros, Iran): A brief outline of their past and present, in *Thrust Belt and Foreland Basin*, edited by O. Lacombe et al., pp. 287 – 306, Springer, Berlin.
- James, G. A. & Wynd, J. G., 1965- Stratigraphic nomenclature of Iranian oil consortium Agreement Area. *American Association petroleum Geologists Bulletin* 49: 2182-2245.
- Jaros, J., 1981- The Zagros Mountains, its development and analysis of tectonic styles. *Vist. Ústř. Úst. Geol.*, 56(2) 113-120.
- Koyi, H. A., Ghasemi, A., Hessami, K. & Dietl, C., 2008- The mechanical relationship between strike-slip faults and salt diaps in the Zagros fold-thrust belt. *Journal of the Geological Society, London*, 165: 1031–1044.
- Leturmy, P., Molinaro, M. & Lamotte, D. F., 2010- Structure, timing and morphological signature of hidden reverse basement faults in the Fars Arc of the Zagros (Iran). *Geological Society, London, Special Publications*, 330: 121-138.
- McQuarrie, N., 2004- Crustal scale geometry of the Zagros fold-thrust belt, Iran. *Journal of Structural Geology*, 26: 519–535.
- McQuillan, H., 1991- The role of basement tectonics in the control of sedimentary facies, structural patterns and salt plug emplacements in the Zagros fold belt of Southwest Iran. *Journal of Southeast Asian Earth Sciences*, 5(4): 453-463.

- Mitra, S. & Mount, S. V., 1998- Foreland basement involved structures. AAPG Bulletin, 82: 70-109.
- Motamed, H., Sepehr, M., Sherkati, S. & Pourkermani, M., 2011- Multi-phase hormoz salt diapirism in the southern zagros sw Iran. Journal of Petroleum Geology, 34(1): 29-43.
- N.I.O.C. (National Iranian Oil Company), 1977- Tectonic map of Iran, National Iranian Oil Company.
- Nogol-e-Sadat, M. A., Ahmadzadeh Heravi, M., Almasian, M., Poshtkouhi, M. & Hushmandzadeh, A., 1993- Tectonic Map of Iran. Scale 1:1000000 Geological Survey of Iran.
- Pirouz, M., Simpson, G., Bahroudi, A. & Azhdari, A., 2011- Neogene sediments and modern depositional environments of the Zagros foreland basin system. Geological Magazine, 148: 838–53.
- Player, R. A., 1969- The Hormuz Salt Domes of southern Iran. MS, PhD. Thesis, Reading University, 300 pp.
- Rahnama-Rad, J., Derakhshani, R., Farhoudi, G. & Ghorbani, M., 2008- Basement Faults and Salt Plug Emplacement in the Arabian Platform in southern Iran. Journal of Applied Science, 8(18): 3235-3241.
- Sepehr, M. & Cosgrove, J. W., 2005- Role of the Kazerun Fault Zone in the formation and deformation of the Zagros Fold-Thrust Belt, Iran. Tectonics, 24(5): 1-13.
- Talbot, C. J. & Jarvis, R. J., 1984- Age, budget and dynamics of an active salt extrusion in Iran. Journal of Structural Geology, 6(5): 521–533.
- Talebian, M. & Jackson, J. A., 2004- reappraisal of earthquake focal mechanisms and active shortening in the Zagros mountains of Iran. Geophysical Journal International, 156: 506-526.
- Waltham, T., 2008- Salt terrains of Iran. Geology Today, 24(5): 188-194.
- Yassaghi, A., 2006- Integration of landsat imagery interpretation and geomagnetic data on verification of deep-seated transverse fault lineaments in SE Zagros, Iran, Int. J. of Remote Sensing, 56(12): 152-167.
- Yousefi, E. & Friedberg, J. L., 1978- Aeromagnetic Map of Iran. Quadrangle No. G12, H11, H12, H13, H14, I12, I13, Scale 1:250000, Geological Survey of Iran.
- Zadeh, R. M. & Sarkarinejad, K., 2013- Webster R. Spatial Heterogeneity of Tectonic Features in the Area between the Qatar-Kazerun and the Minab Faults, the Southeast of the Zagros Fold-and-Thrust Belt, Iran. Geoinformatics & Geostatistics: An Overview 1(3): 247-256.

Detection of Fault Lineaments of the Zagros Fold-Thrust Belt Based on Landsat Imagery Interpretation and their Relationship with Hormuz Series Salt Dome Locations Using GIS Analysis

A. Mehrabi^{1*}, M. Dastanpour², Sh. Radfar³, M. R. Vaziri⁴ & R. Derakhshani³

¹Ph.D. Student, Department of Geology, Shahid Bahonar University, Kerman, Iran

²Professor, Higher Education Institute, Kerman, Iran

³Assistant Professor, Department of Geology, Shahid Bahonar University, Kerman, Iran

⁴Associate Professor, Department of Geology, Shahid Bahonar University, Kerman, Iran

Received: 2014 December 14

Accepted: 2015 February 25

Abstract

In the Zagros structural zone of Iran, there is a broad range of emergent salt domes, a unique morphology in the world that is developed in tectonic environment. In the Zagros fold-thrust belt, emergent salt domes exhibit linear patterns. Such trends appear to be related to linear structural features that are observable by Landsat imagery. Detection of fault lineaments and their spatial relationship with salt dome locations from statistics point of view have been the concerns of this study. Based on the remote sensing analyses, horizontal displacements of parts of folded structures and distribution of Hormuz series salt domes, 34 fault lineaments were detected. A statistical method called the weight of evidence method is used to determine the relationship between salt dome locations and fault lineament trends. For this purpose, a map of the fault lineaments and a map of the salt dome centers were converted to raster model and some buffers were extracted around the fault lineaments; then, the spatial relationship between the salt domes and fault lineaments were quantified using weights of evidence method. Results indicate that the salt domes are associated spatially with the fault lineaments within lateral distances of 1 km. Weights of evidence method shows that the fault lineaments related to tectonics of the region could be the most important factor in emplacement of the salt domes in the study area.

Keywords: Fault lineaments, Salt domes, Landsat imagery, Spatial relationship, Zagros.

For Persian Version see pages 17 to 32

*Corresponding author: A. Mehrabi; E mail:alimehrabi225@yahoo.com